

УДК 338.2+314

Казначеев В. П., Трофимов А. В.

**ДИСТАНТНО-ИНФОРМАЦИОННЫЕ ВЗАИМОДЕЙСТВИЯ
В «ПРОСТРАНСТВЕ КОЗЫРЕВА»**

Космопланетарная антропоэкология: фактический и аналитический материал

(Продолжение. Начало в № 4/05, 1–4/06)

*Междуннародный НИИ космической антропоэкологии (МИИКА)
630117, Россия, г. Новосибирск, ул. Акад. Тимакова, 2*

Описаны психофизиологические исследования восприятия людьми голограмм, содержащих информацию о космических объектах: о галактиках с различными характеристиками и о культурно-исторических памятниках различных цивилизаций и эпох. Испытаны также голограммы с информацией функционально-регуляторного характера. Степень палеоинформационной чувствительности современного человека, мера раскрытия его «палеопамяти» оценивались по динамике восприятия времени, изменениям хронотропного режима сердца, электрической активности головного мозга, светопоглощения кожи, параметров газоразрядной визуализации, а также по эффективности дистантно-информационных коммуникаций между людьми и взаимодействий с «клеточными цивилизациями».

Ключевые слова: палеопамять человека, «пространство Козырева», дистантно-информационные коммуникации между людьми, информационные сигналы, психофизиологическое тестирование, асимметрия полушарий головного мозга, внутреннее восприятие времени.

**5. Эффекты опережающего восприятия человеком космофизической информации
в «пространстве Козырева»**

«Живое связано со всей окружающей природой миллионами невидимых связей... каждый атом живого резонирует на соответствующие колебания атомов природы. Наибольшее влияние на жизнь Земли оказывают солнечно-космические потоки, направляющиеся со всех сторон Вселенной. Наука широко раздвигает границы нашего непосредственного восприятия природы и нашего мироощущения. Не только Земля, но и космические просторы становятся нашей Родиной, и мы начинаем ощущать во всем ее подлинном величии значительность для всего земного бытия и перемещения отдаленных небесных тел, и движения их посланников — радиации» [9].

Все чаще высказываются обоснованные предположения, что многие факторы развития живого на Земле — от первичного синтеза биомолекул до процессов мышления человека — обязаны излучениям дальнего Космоса [3, 8]. Новое понимание функциональных резервов человека как биокосмофизических ресурсов требовало определиться с источниками космобиотропных воздействий в широком спектре космических излучений. Предполагается, что, по преимуществу, потоки различных элементарных частиц: электронов, протонов и др., воздействие которых на биосистемы может проявляться как на ядерном уровне структур биомолекул, так и на полевом уровне оказывают существенное влияние на формирование организма от зачатия, пренатального развития до более поздних этапов онтогенеза. Важнейшим с точки зрения имманентности живому веществу является космическое фоновое излучение, относящееся к СВЧ-диапазону и считающееся остаточным шумом Большого взрыва, когда излучение и вещество находились в состоянии термодинамического равновесия.

Целью данного раздела работ была оценка влияния моделированного пространства (гипогеомагнитной среды с трансформированным наклонением и алюминиевых экранов, уплотняющих (по Н. А. Козыреву) «энергию-время» и обеспечивающих доступ в различные участки Вселенной) на взаимосвязь полевых структур человека, визуализируемых посредством СВЧ-импульсов, с космофизическими факторами ближнего и дальнего Космоса.

Методы. Компьютерная газоразрядная визуализация (ГРВ) на приборе «Коррекс»;

спутниковое космофизическое мониторирование, моделирование зон с уплотнением «энергии времени» (с использованием алюминиевых экранов).

Контингент. Здоровые молодые мужчины 18-20 лет ($n = 39$), проходящие курс «погружений» ($n = 10$) в среду с трансформацией геомагнитного наклонения (группа 1) или с ослаблением магнитного поля (группа 2); а также животные (крысы-самцы) ($n = 36$) соответственно 1, 2 и 3-й (контрольной) групп с суммарной экспозицией в преформированной среде около 300 ч (экспериментальные работы выполнены совместно с проф. и докт. биол. наук В. Г. Селятицкой).

Результаты. С использованием базы данных спутникового мониторирования оценена динамика многих космофизических параметров (скорости «солнечного ветра»; температуры солнечной плазмы); электронной компоненты — E_{2k} , протонной компоненты космических лучей — P_{lk} , плотности протонных потоков — P_{dens} ; величины горизонтальной составляющей ГМП — B_x) в дни применения метода газоразрядной визуализации. Особенности периодических и непериодических изменений вышеизложенных космофизических параметров представлены на рис. 1-6.

По данным Д. В. Девицина, А. В. Трофимова, В. Г. Селятицкой [1], в группе животных, испытавших длительную трансформацию геомагнитного наклонения, прослеживается значимая корреляционная зависимость спектральной плотности ГРВ-свещения от интенсивности солнечных протонных потоков, скорости и температуры «солнечного ветра» (рис. 7). В условиях ослабления ГМП и в контрольной группе значимые связи были единичны или отсутствовали.

При анализе корреляционной зависимости ГРВ-параметров человека от космофизической среды на момент обследования (за все дни курса преформированных воздействий в 1-й ($n = 88$) и 2-й ($n = 84$) группах) Д. В. Девициным, А. В. Трофимовым [1] выявлены значимые связи (рис. 8). При этом 1-ю группу отличала большая зависимость от B_x -составляющей ГМП, а 2-ю — большая зависимость от солнечных протонных потоков. Корреляционный анализ параметров ГРВ, зарегистрированных у испытуемых 17–18 сентября (до начала курса преформированных воздействий), и параметров космофизической среды в момент обследования также выявил значимые зависимости сравниваемых рядов (рис. 9). В эти дни преобладали высокозначимые положительные корреляционные связи с галактическими протонными потоками малых энергий. В течение курса эти зависимости модифицировались, превращаясь в значимые отрицательные связи. Следует иметь в виду, что исследования 17–18 сентября проводились в зоне моделированного «пространства Козырева».

Структура корреляционных зависимостей через 1 мес (15–16 октября) после начала курсов преформированных воздействий была уже иной: практически отсутствовали значимые связи с потоками космических лучей у ГРВ-параметров большинства пальцев. Все измерения проводились вне «пространства Козырева».

29–30 октября (через 1.5 мес после начала исследований) в группе лиц, испытавших геомагнитную депривацию, проявилась зависимость ГРВ-параметров от интенсивности протонных потоков, которые достигли окрестностей Земли за 3 ч до момента ГРВ-регистрации (рис. 10).

В группе испытуемых, не находившихся в ослабленном геомагнитном поле, феномен «памяти» восприятия человеком динамики космофизической среды не наблюдался.

Эффект «памяти» при восприятии человеком космофизической динамики, которая была за 6 ч до регистрации ГРВ-параметров (17–18 сентября), значимо Проявлялся только в группе лиц, которым только предстояло испытать преформированные геомагнитные воздействия (трансформацию геомагнитного наклонения).

В группе лиц, которым предстояла геомагнитная депривация 17–18 сентября, значимые связи с космофизическими обстановкой 6-часовой давности не прослеживались, что могло свидетельствовать о популяционной неоднородности по признаку «блок памяти» космофильных свойств, но уже через 1.5 мес преформированных, гипогеомагнитных воздействий, очевидно, включились резервные системы обращения к «памяти» биокосмофизического восприятия (рис. 11). Особо важными представляются данные о высокозначимом опережающем восприятии изменений потоков галактических протонов, альфа-частиц и горизонтальной составляющей ГМП, которые будут зарегистрированы только через 2.5 мес после короткого СВЧ-воздействия

и последующей оценки ширины спектра яркости ГРВ-грамм (рис. 12).

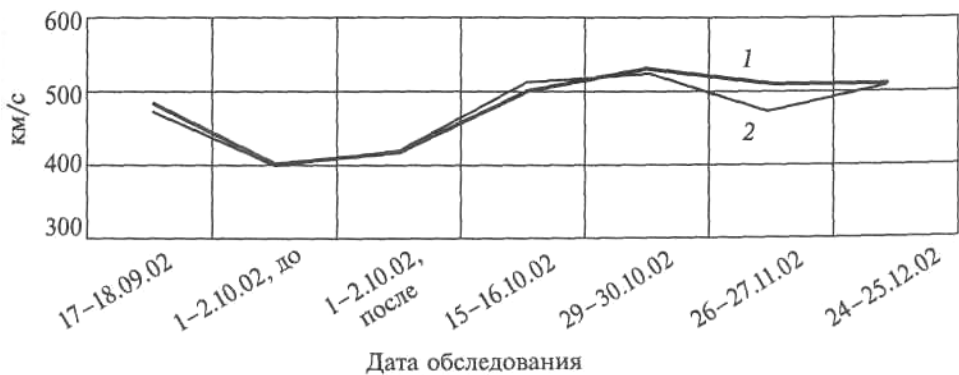


Рис. 1. Динамика скорости «солнечного ветра». На момент проведения обследования в 1-й (1) и 2-й группах (2) испытуемых (по данным NOAA, 2002).

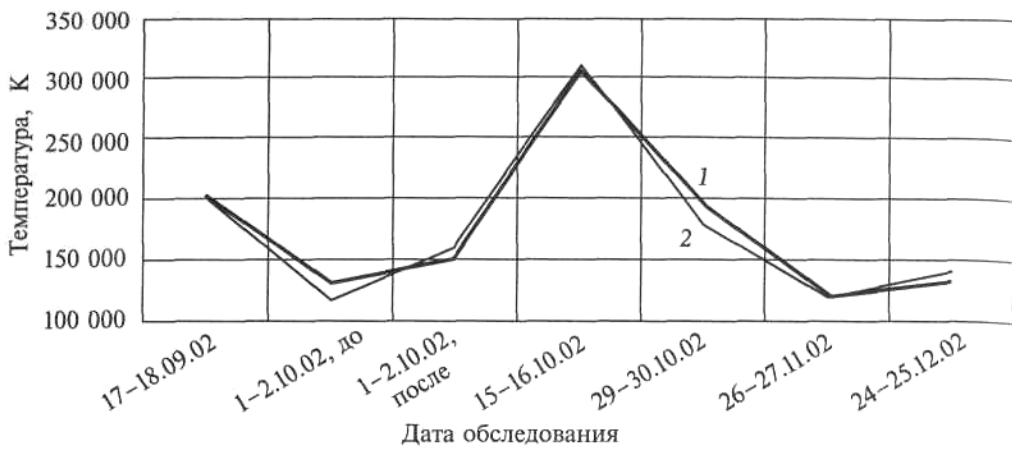


Рис. 2. Динамика температуры солнечной плазмы на момент проведения обследования в 1-й (1) и 2-й группах (2) испытуемых (по данным NOAA, 2002).

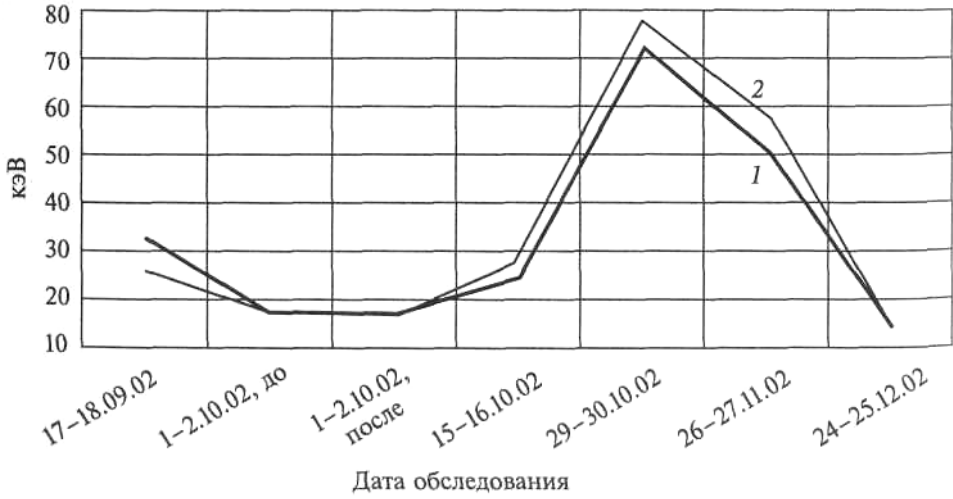


Рис. 3. Динамика электронной компоненты ($E_{2\text{к}}$) на момент проведения обследования в 1-й (1) и 2-й группах (2) испытуемых (по данным NOAA, 2002).

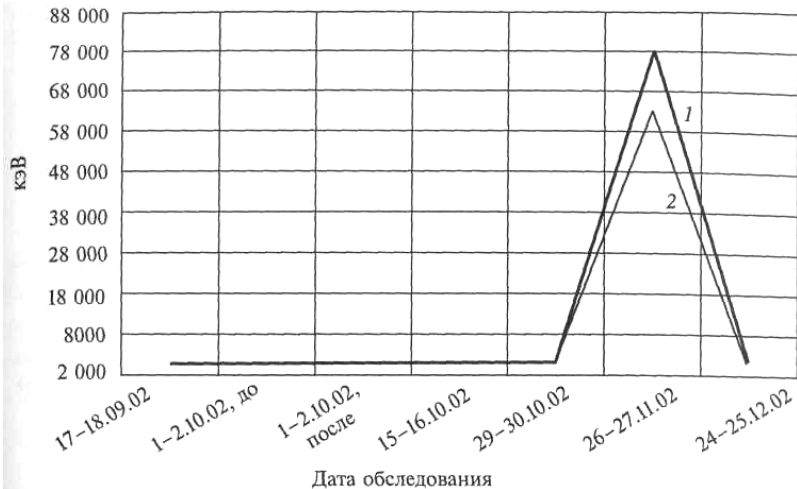


Рис. 4. Динамика протонной компоненты (Plk) галактических космических лучей на момент проведения обследования в 1-й (1) и 2-й группах (2) испытуемых (по данным NOAA, 2002).

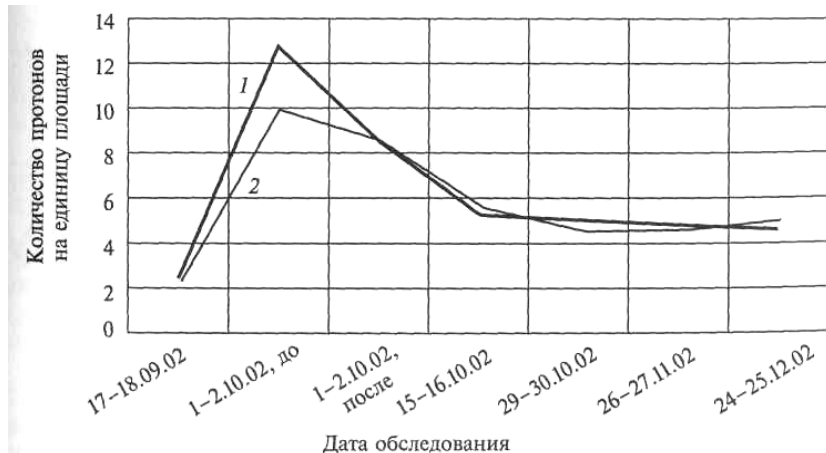


Рис. 5. Динамика плотности протонных потоков на единицу площади на момент проведения обследования в 1-й (1) и 2-й группах (2) испытуемых (по данным NOAA, 2002).

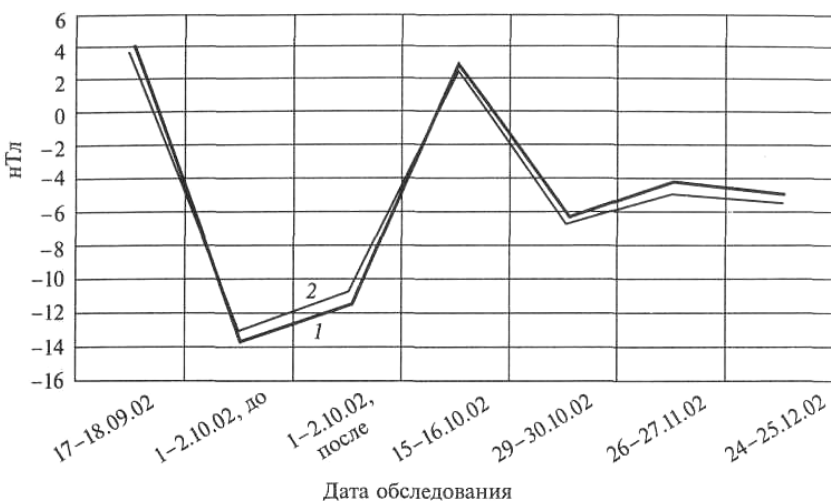


Рис. 6. Динамика горизонтальной компоненты ГМП. Показатели на момент проведения обследования в 1-й (1) и 2-й группах (2) испытуемых (по данным NOAA, 2002).

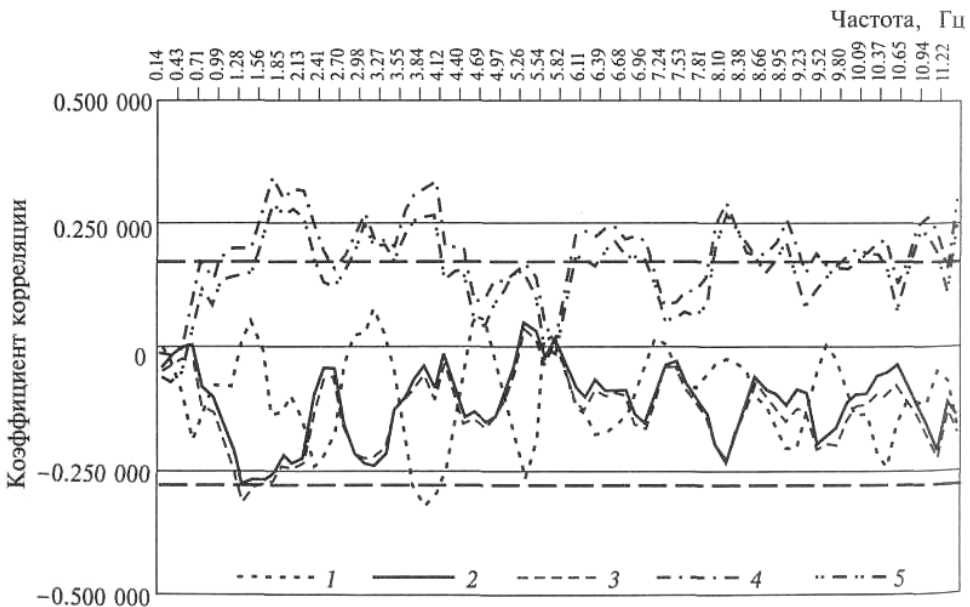


Рис. 7. Корреляционная зависимость спектральной плотности ГРВ-свечения от солнечных факторов: 1 — альфа-частицы, 2 — протоны, 3 — плотность потока протонов, 4 — скорость солнечного ветра, 5 — температура солнечной плазмы во 2-й группе экспериментальных животных. Горизонтальные штриховые линии — уровни значимости ($p < 0.05$).

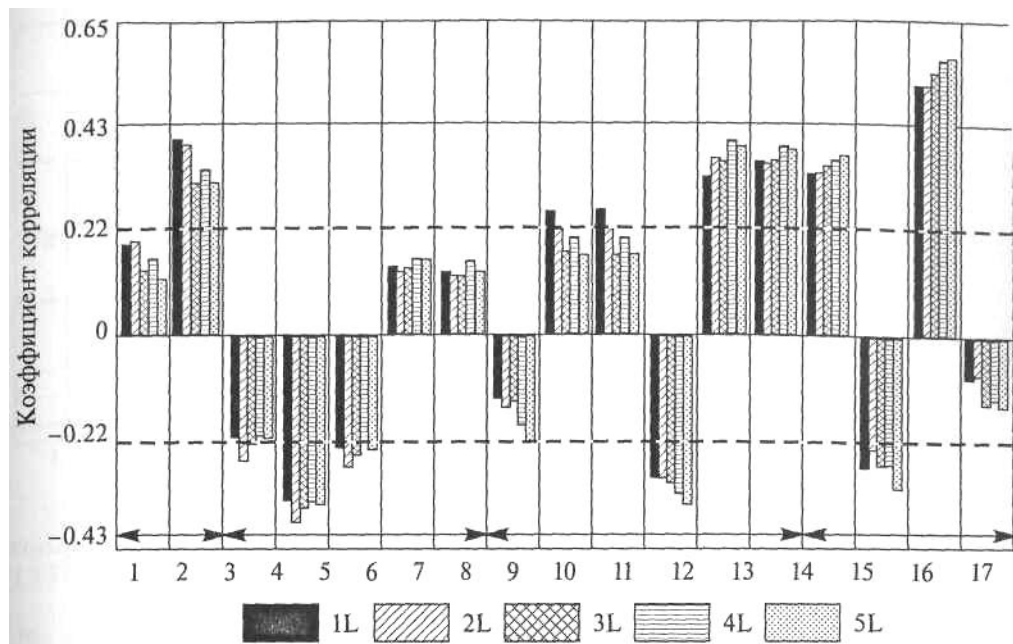


Рис. 8. Характер корреляционных зависимостей яркости ГРВ-граммы ($n = 84$) (левая рука) во 2-й группе испытуемых от космофизических параметров в дни обследований.

1-5L — фаланги левой руки. 1-2 — электронные компоненты космических лучей: (Elk, E2k); 3-7 — протонные компоненты космических лучей слабых энергий (соответственно p1K — p5K); 8 — поток \square -частиц; 9, 10 — протонные компоненты космических лучей высоких энергий ($P > 10$ мэВ и $P > 30$ мэВ); 11 — плотность протонных потоков; 12 — скорость солнечного ветра; 13 — температура ионной плазмы (К); 14-17 — составляющие ГМП (соответственно Bx, By, Bz, Bt). Штриховая линия — порог значимости ($p < 0.05$) коэффициентов корреляции Спирмана.

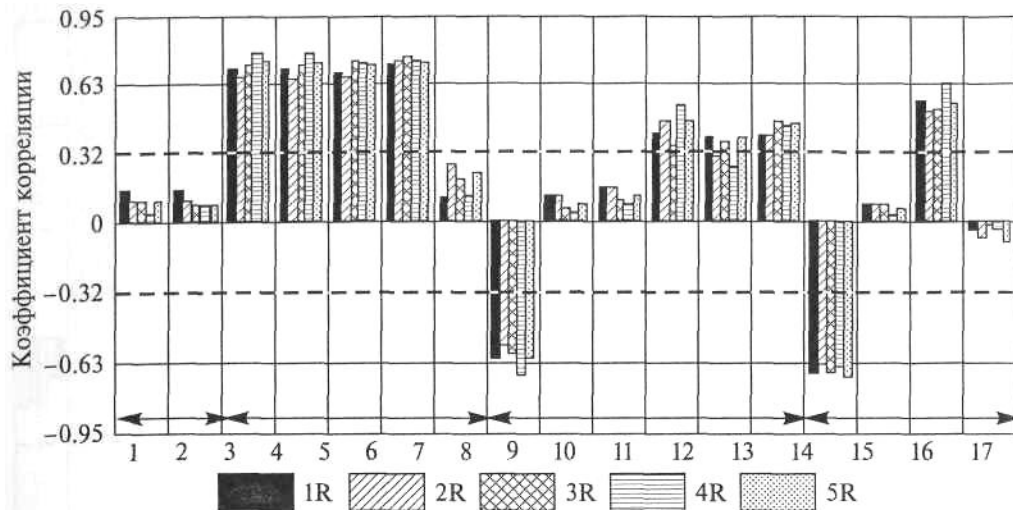


Рис. 9. Характер корреляционных зависимостей ширины спектра ГРВ-граммы (правая рука) в двух группах ($n = 39$) от космофизических параметров (17-18 сентября 2002 г.). 1-5R — фаланги правой руки. Усл. об. см. рис. 8.

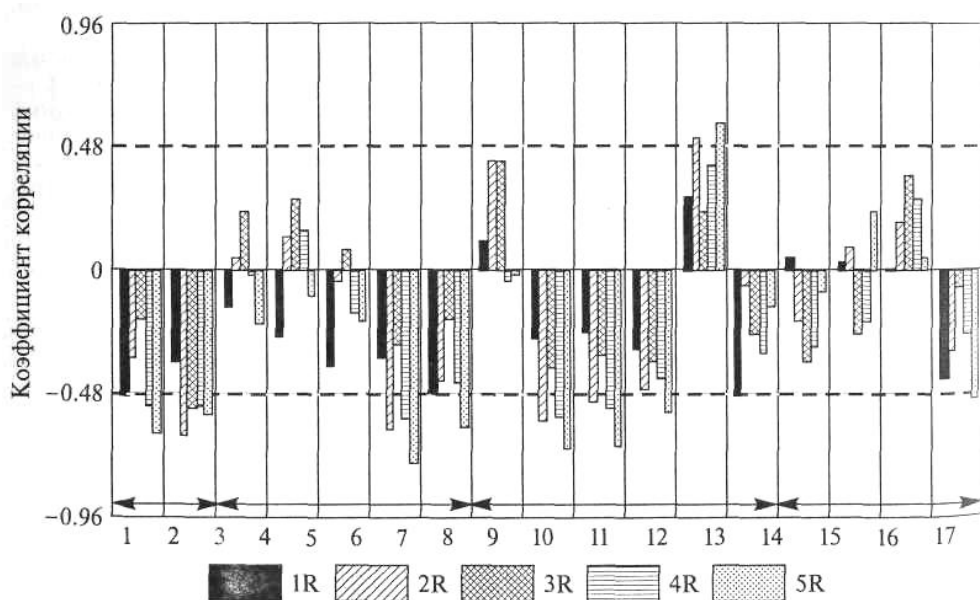


Рис. 10. Характер корреляционных зависимостей коэффициента формы ГРВ-граммы (правая рука) во 2-й группе от космофизических параметров за 3 ч до проведения исследования (29-30 октября 2002 г.). 1-5R — фаланги правой руки. Усл. об. см. рис. 8.

Через 3 мес после начала курса преформированных гелиогеофизических воздействий фиксируется еще большее опережение (3 мес) в восприятии динамики космофизической среды. При этом вектор значимой корреляционной связи обратный по отношению к отмечавшемуся при опережении 1.5 мес. Можно предположить, что развивающаяся способность к «опережению» имеет колебательный характер, отражая пока неизвестную периодическую вселенскую функцию.

Если сравнивать ряды ГРВ-параметров, зарегистрированных 29–30 октября, с космофизической обстановкой, которая развернется через 2 и 4 мес (24–25 декабря 2002 г., 25–26 февраля 2003 г.), мы не сможем найти значимых опережающих корреляций ни в 1-й, ни во 2-й группе испытуемых.

Нам кажется допустимым предположение, что эффект долговременного опережения в

восприятии человеком космофизических факторов, преимущественно галактических протонов, реализуется только в зоне моделирования в экранирующих установках «уплотненной энергии-времени» (см. разд. 17.5.3), т. е. эффект опережающего восприятия космофизической динамики проявляется только в «пространстве Козырева», где «будущее», как и «прошлое», присутствует в «настоящем».

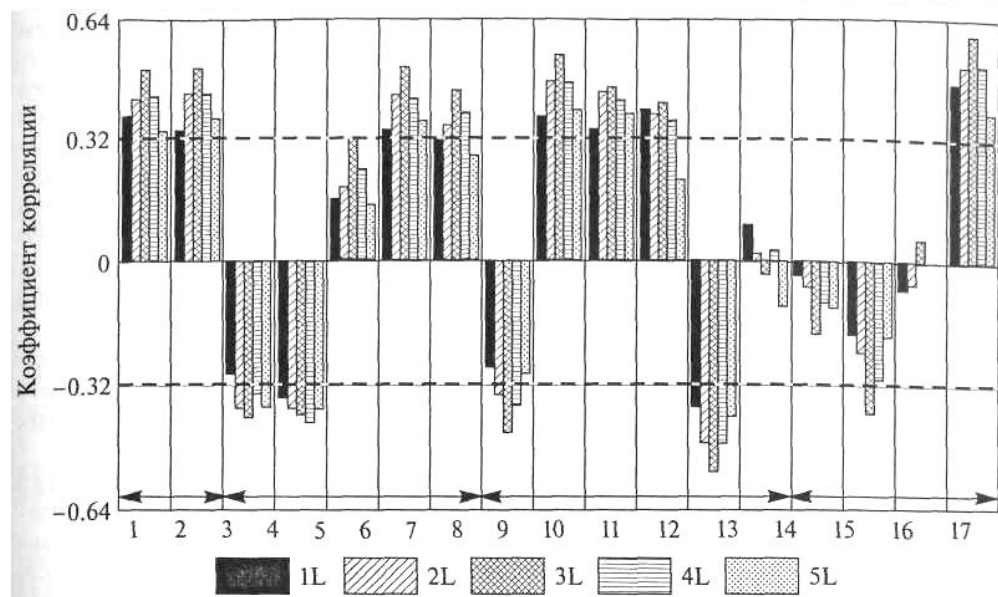


Рис. 11. Характер корреляционных зависимостей ширины спектра ГРВ-граммы (левая рука) (17-18 сентября 2002 г.) в двух группах ($n = 39$) от космофизических параметров (29-30 октября 2002 г.). 1-5L — фаланги левой руки. Усл. об. см. рис. 8.

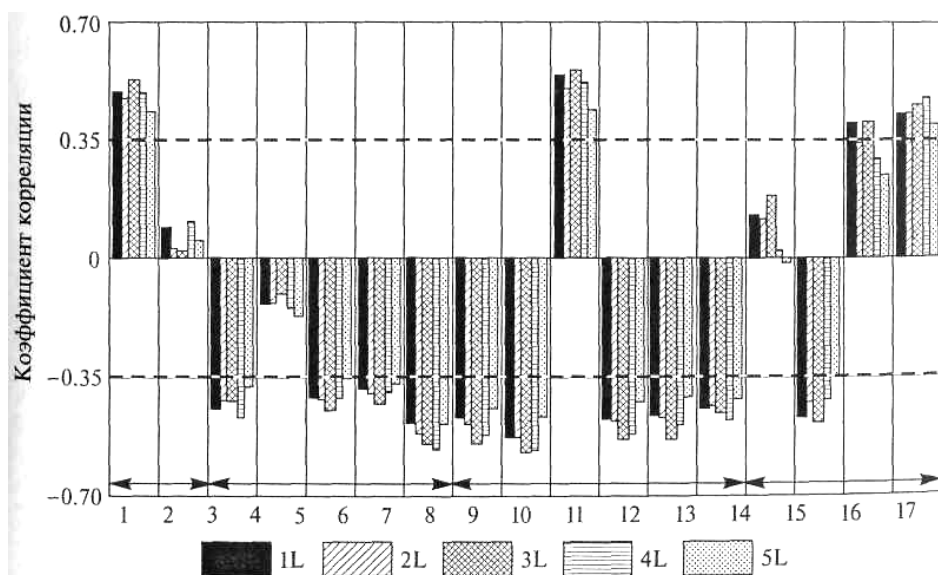


Рис. 12. Характер корреляционных зависимостей ширины спектра ГРВ-граммы (левая рука) (17-18 сентября 2002 г.) в двух группах (л = 39) от космофизических параметров (24-25 декабря 2002 г.). 1-5L — фаланги левой руки. Усл. об. см. рис. 8.

Прослеживается и сохраняющаяся зависимость ГРВ-параметров от космофизической обстановки, которая была за 2 мес до электрофизиологического обследования, «эффект памяти» биогеофизических сопряжений в зоне моделированного уплотнения «энергии-времени».

Представляется важным и то, что ГРВ проводилась в условиях выполнения испытуемыми, головной мозг которых был в фокусе малых вогнутых «зеркал Козырева», интеллекту-

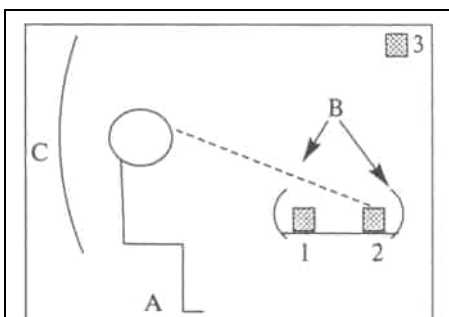


Рис. 13. Схема исследований дистанционных взаимодействий в системе «человек — клетка».

А — оператор, В — малые вогнутые «зеркала Козырева», С — большое вогнутое «зеркало Козырева»; 1, 2 — положение клеточных культур, 3 — положение питательной среды.

2. Прогностическая оценка интенсивности галактических протонных потоков может способствовать развитию в «пространстве Козырева» проскопических и других возможностей человека с учетом космофизической обстановки и воспроизведению опережающей реальные события информации.

6. Дистанционные взаимодействия человека с «клеточными цивилизациями»

Одним из важнейших приоритетов российской космогеобиофизики является открытый учеными ИКЭМ СО АМН СССР феномен дистанционных межклеточных взаимодействий [2].

Метод биоиндикации на клеточных культурах разработан и апробирован докт. биол. наук Л.П. Михайловой для выявления психоэнергетических возможностей человека при отборе народных целителей (экстрасенсов). Исследования проводились с 1995 по 1999 г. по заданию Комитета по лицензированию и аккредитации фармакологических средств, медико-технической деятельности при Департаменте социальной политики администрации Новосибирской области [7].

Задачей исследования 2002–2003 гг., выполненного по ТЗ МНИИКА, была оценка при помощи клеточных культур развития способности человека к дистанционным взаимодействиям в системе человек — «клеточная цивилизация» при погружениях испытуемых-операторов в преформированную гелиофеофизическую среду, в процессе их обращения к «палеопамяти» периода «довербального» общения.

Схема исследований (рис. 13) предусматривала оценку эффективности дистанционных воздействий человека на клеточные культуры в каналах прямого сфокусированного в «зеркалах Козырева» потока «энергии-времени» (7) и отраженного в системе двух малых зеркал (2); питательная среда (3) располагалась вне сфокусированного потока.

Результаты. Приведены таблицы 1, 2 и фото с результатами экспериментов. В таблицах указаны параметры 8р (количество клеток на площади роста) и МА% (количество митозов в процентах там же, или митотическая активность).

В 1-м, фоновом, эксперименте 18.09.2002 г. (табл. 1), до начала погружений операторов в преформированную среду клетки в сериях № 1 и № 2 при посадке на 2-й день растут энергичнее, чем в контрольной культуре, митотическая активность без изменений. В экспериментах (16.10.2002 г.) (табл. 2) через 1 мес после начала раскрытия у испытуемых психофизических резервов наблюдается резкое угнетение роста клеток, особенно на 48-м и 72-м часу экспозиции, и снижение значений МА% по отношению к контролю. К 144 ч монослой плотный, но не достигает контрольных цифр по обоим параметрам. Особо выраженное угнетение (уменьшение) МА% и 8р наблюдается в условиях, когда клетки были ближе к испытуемому.

ального теста (решение математической задачи с ответом «777») и особой информационной нагрузки (алюминиевый объект из Иерусалима).

Н. И. Кобозев [4] предполагает наличие в механизмах мозга автоколебательных систем, переводящих «свободную энергию» в энтропийную, и считает, что проблему физики мышления можно конкретизировать до выявления физического содержания и источника отрицательной энтропии. Формой материи, способной осуществлять процесс мышления, могут быть как сверхлегкие космические частицы типа нейтрино, так и, по нашему мнению, галактические протоны малых энергий, фракталы которых, возможно, транслируют «генетический код Вселенной» [6].

Выводы. 1. Формируется гипотеза «протонной голограммы» Вселенной, элементами которой являются полевые структуры животных и человека, их головного мозга и сам интеллект.

Таблица 1

| 18.09.2002 г. | 48 ч | | 72 ч |
|---------------------------------|-----------|-----------------------|-----------------------|
| Контрольная культура | Sp MA% | 65.4 ± 0.3 0.8 | 74.6 ± 0.4 0.6 |
| Серия № 1 ближе к испытуемому | Sp MA% | 72.3 ± 0.4 0.6 | 88.0 ± 0.5 0.7 |
| Серия № 2 дальше от испытуемого | Sp MA% | 78.6 ± 0.4 0.6 | 91.5 ± 0.6 0.5 |

Морфологическое описание препаратов. При экспозиции 48 ч в экспериментах, проводившихся 16 октября 2002 г. (рис. 14–17), наблюдается следующая морфологическая картина: редкий монослой или единично разбросанные по полю клетки, единичные живые клетки с хорошо видимым ядром, содержащим 2–3 ядрышка, но с вакуолизированной цитоплазмой. Остальные клетки различной формы (вытянутые с большими цитоплазматическими отростками, буферангоподобные, но ядро сохранилось, иногда с остатками цитоплазмы, цитоплазма вакуолизирована, встречаются крупные капли липидов), много погибших клеток.

Таблица 2

| 16.10.2002 г. | 48 ч | | 72 ч | 144 ч |
|---------------------------------|-----------|-----------------------|-----------------------|------------------------|
| Контрольная культура | Sp MA% | 72.9 ± 0.3 1.6 | 80.5 ± 0.4 1.4 | 102.0 ± 0.6 1.0 |
| Серия № 1 ближе к испытуемому | Sp MA% | 11.2 ± 0.1 0.5 | 12.5 ± 0.1 0.8 | 38.8 ± 0.2 0.9 |
| Серия № 2 дальше от испытуемого | Sp MA% | 12.5 ± 0.1 1.2 | 31.0 ± 0.1 1.1 | 72.8 ± 0.3 1.0 |
| Серия № 3 среда | Sp MA% | 13.1 ± 0.1 0.3 | 35.5 ± 0.2 0.7 | 74.0 ± 0.2 0.6 |

В серии экспериментов 18 сентября 2002 г. (фон — до начала испытаний в моделированном пространстве), морфологическая картина в препаратах существенно отличается: измененных по форме клеток мало, клетки жизнеспособные, нормальные, ядра клеток содержат ядрышки, цитоплазма прозрачная, погибших клеток очень мало. При экспозиции 48 ч клеток несколько больше, чем в контроле. Сохраняется то же количество митозов. Такая же картина наблюдается и в экспозиции 72 ч.

Выводы. 1. Полевая космофизическая среда в момент «посадки» клеточных культур инициирует информацию, полученную ранее при дистанционно-интеллектуальном воздействии человека-оператора. Дистанционно-межклеточный обмен полученной информацией приводит к инверсии эффекта: замедлению клеточного роста и митотической активности.

2. Эффективность дистанционно-интеллектуального воздействия операторов на клеточные культуры повышается по мере прохождения испытуемыми курса пре-формированных ГМП-воздействий и зависит (по данным ковариационного анализа) от динамики кожного светопоглощения при предъявлении оператору информационно-емкой голограммы, сформированной по энергоинформационным событиям в «пространстве Козырева» (19 июня 2001 г.) (фото 5,1, 6, см. цв. вклейку), а также от солнечной активности, радиоизлучения Солнца и величины геомагнитной индукции при «посадке» клеток на питательные среды.

3. Восемь 30-минутных сеансов (суммарно 240 мин) в преформированной гелиогеофизической среде приводят к раскрытию у испытуемых-операторов способностей к дистанционным угнетающим воздействиям на клеточные культуры человека, находящиеся в фокусном пространстве вогнутых «зеркал Козырева», расположенных позади головы оператора, и в моделированном зеркальном пространстве («пространстве Козырева»).

4. Эффект воздействия дистанционно транслируется на клеточные культуры, расположенные в моделированном пространстве, а также на водные «амино-кислотно-нуклеиновые» среды, находящиеся вне его ($\sim 1,0$ м от экспериментальной зоны, вне поля зрения оператора). К концу курса операторы действуют более концентрированно (эффект в окружающее пространство не транслируется).

Таким образом, цикл исследований в экранированном пространстве показал, что дистанционно-информационные взаимодействия, восприятие первично-полевых палеоинтеллектуальных сигналов реализуются в фокусированных потоках энергии и времени, открывающих опережающий доступ к космоголо-графическим интеллектуальным полям.

Получены экспериментальные доказательства одной из ведущих гипотез Н. А. Коzyрева. Он писал о том, что если в лабораторных условиях удастся достичь уплотнения «энергии-времени», то из этой зоны откроется доступ в любую точку Вселенной [5]. По нашим данным, в «зеркалах Коzyрева» подобный доступ вполне достижим.

Существование жизни на Земле, как правило, интерпретируется в терминах «слабого антропного принципа» на основе «шкалы времени» по отношению лишь к углеродсодержащим

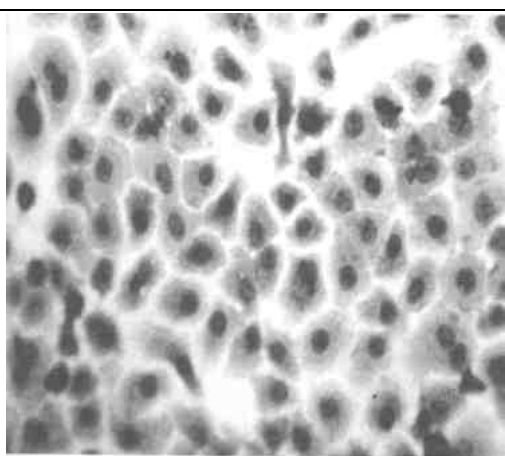


Рис. 14. Контрольная клеточная культура HEp-2, выращенная без экспериментальных воздействий 16 октября 2002 г.

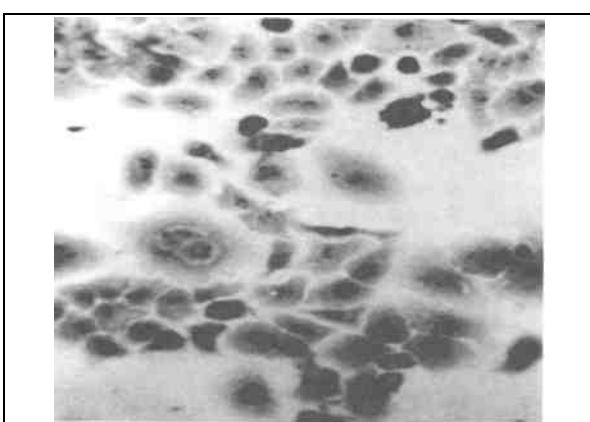


Рис. 15. Морфологическая картина клеточной культуры HEp-2, находившейся 16 октября 2002 г. в системе вогнутых алюминиевых зеркал вне поля зрения оператора, в непосредственной близости от него.

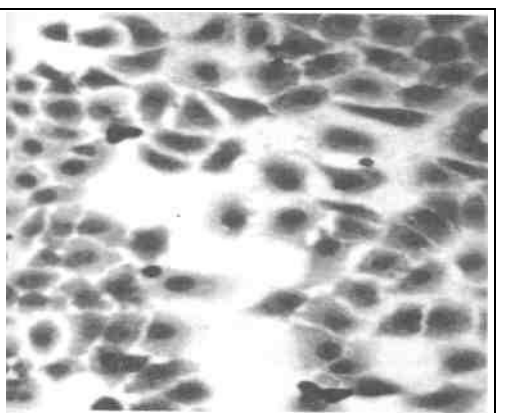


Рис. 16. Морфологическая картина клеточной культуры HEp-2, находившейся 16 октября 2002 г. в системе вогнутых алюминиевых зеркал в поле зрения оператора, в непосредственной близости от него.

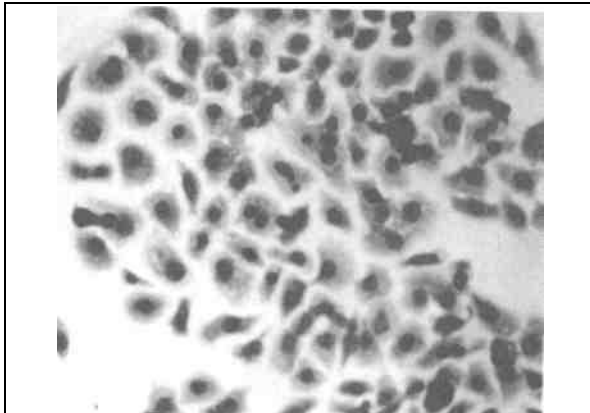


Рис. 17. Морфологическая картина клеточной культуры HEp-2, выращенной на питательной среде, находившейся 16 октября 2002 г. в системе вогнутых алюминиевых зеркал в поле зрения оператора, в непосредственной близости от него.

материалам [10]. В нашем эксперименте с временным лагом 4250 лет показана относительность «временных линеек», работающих в иных пространственно-временных координатах. Полученные факты говорят о большей правомочности понятия «дление», которое мы обсуждали выше.

В следующем разделе экспериментальных работ мы пытались понять, насколько космобиофизические резервы современного человека детерминированы генетически, и возможно ли противостояние «генетическому дефолту» при обращении к «первично-полевой интеллектуальной палеопамяти» в моделях пространствах.

Л и т е р а т у р а :

1. Девицин Д. В., Трофимов А. В. Динамика биоэлектрических параметров в процессе раскрытия «космопсихологических резервов» человека в экранированном пространстве // Тез. VII Междунар. конгр. по ГРВ биоэлектрографии, С.-Петербург, 6-8 июля 2003. — СПб., 2003. — С. 20.
2. Казначеев В. П., Михайлова Л. П. Сверхслабые излучения в межклеточных взаимодействиях. — Новосибирск: Наука, 1981. — 143 с.
3. Кобозев Н. И. Избранные труды. Т. 2. — М.: Изд-во МГУ, 1978. — 390 с.
4. Кобозев Н. И. О физике мышления. — М., 1992.
5. Козырев Н. А. Избранные труды. — Л.: Изд-во Ленинград. ун-та, 1991. — 445 с.
6. Косинов Н. В. Происхождение протона // Физ. вакуум и природа. — 2000. — № 3. — С. 98–110.
7. Михайлова Л. П., Чередниченко Ю. Н. Отбор народных целителей для медицинской практики с использованием клеточной культуры человека (метод биоиндикации) // Вестн. МНИИКА. — 1999. — № 6. — С. 99–102.
8. Субботина Т. И., Туктамышев И. Ш., Яшин А. А. Электромагнитная сигнализация в живой природе / Под ред. А. А. Яшина. — Тула: Гриф и К., 2003. — 319 с.
9. Чижевский А. Л. Земное эхо солнечных бурь. — М.: Мысль, 1973. — 349 с.
10. Hoyle F., Wickramasinghe N. C. The Universe and life: deductions from the weak anthropic principle // Weston Preprint Series. — March, 1991. — N 10. — P. 89–102.

Статья поступила в редакцию 25.10.2005 г.

Kaznatcheyev V. P., Trofimov A. V.

The distance-information interaction in the “Kozirev space”

It is described the psychophysiological in the “Kozirev space” human perception of holograms, which contain information about cosmic objects: galaxies with different characteristics, cultural-historical monuments of different civilizations and epochs. The holograms with the functional-regulation information are also tested. The degree of the modern man paleoinformation sensibility and the measure of the human “paleomemory” disclosure were valued by the following parameters: the time perception dynamics, the heart chronal regime changes, the head brain electric activity, the skin absorption of light, the gas discharge visualization, the effectivity of the human distance-information communications and interaction with “cells civilizations”.

Key words: human paleomemory, “Kozirev space”, human distance-information communications, information signals, psychophysiological testing, head brain semispheres asymmetry, time internal perception.